

机械工程控制基础

吴波、熊良才、陈良才

华中科技大学

制作：华中科技大学
熊良才、吴波、陈良才

第四章 频率特性分析

时域分析：重点研究过渡过程，通过阶跃或脉冲输入下系统的瞬态时间响应来研究系统的性能。

频域分析：通过系统在不同频率 的谐波（正弦）输入作用下的稳态响应来研究系统的性能。

一、频率特性概述

1. 频率响应与频率特性

(1) 频率响应：系统对谐波输入的稳态响应

例 设系统的传递函数为 $G(s) = \frac{K}{Ts + 1}$

若输入信号为 $x_i(t) = X_i \sin \omega t$ 即 $X_i(s) = \frac{X_i \omega}{s^2 + \omega^2}$

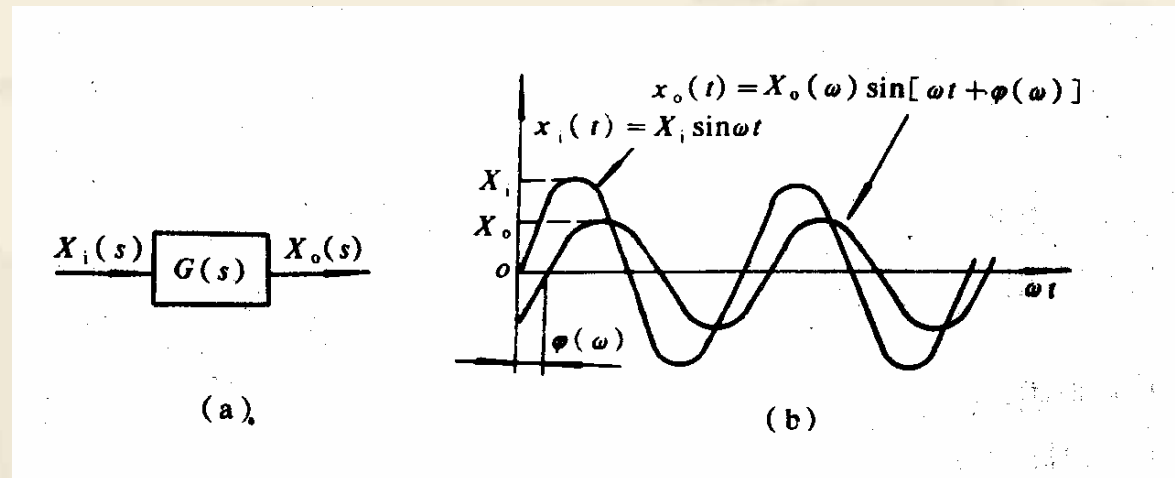
则 $X_o(s) = G(s)X_i(s) = \frac{K}{Ts + 1} + \frac{X_i \omega}{s^2 + \omega^2}$

$$x_o(t) = \frac{X_i K T \omega}{1 + T^2 \omega^2} \cdot e^{-t/T} + \frac{X_i K}{\sqrt{1 + T^2 \omega^2}} \sin(\omega t - \arctg T \omega)$$

稳态输出（响应） $x_o(t) = \frac{X_i K}{\sqrt{1 + T^2 \omega^2}} \sin(\omega t - \arctg T \omega)$

与输入信号的
幅值成正比

与输入同频率

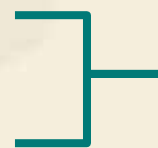


{ 输入: $x_i(t) = X_i \sin t$
 稳态输出 (频率响应): $x_o(t) = X_i A(\omega) \sin[t + \varphi()]$

➤ 同频率

➤ 幅值比 $A(\omega)$

➤ 相位差 $\varphi(\omega)$



的非线性函数
 (揭示了系统的频率响应特性)

(2) 频率特性：对系统频率响应特性的描述

幅频特性：稳态输出与输入谐波的幅值比，

即

$$A(\omega) = \frac{X_o(\omega)}{X_i}$$

相频特性：稳态输出与输入谐波的相位差 $\varphi(\omega)$

频率特性

频率特性是 的复变函数，其幅值为 $A(\omega)$ ，相位为 $\varphi(\omega)$ 。

记为： $A(\omega) \cdot \angle \varphi(\omega)$

或 $A(\omega) \cdot e^{j\varphi(\omega)}$

2. 频率特性与传递函数的关系

设系统的传递函数为：
$$G(s) = \frac{X_o(s)}{X_i(s)} = \frac{b_ms^m + b_{m-1}s^{m-1} + \dots + b_1s + b_0}{a_ns^n + a_{n-1}s^{n-1} + \dots + a_1s + a_0}$$

输入信号为 $x_i(t) = X_i \sin \omega t$ 即 $X_i(s) = \frac{X_i \omega}{s^2 + \omega^2}$

则
$$X_o(s) = G(s)X_i(s) = \frac{b_ms^m + b_{m-1}s^{m-1} + \dots + b_1s + b_0}{a_ns^n + a_{n-1}s^{n-1} + \dots + a_1s + a_0} \cdot \frac{X_i \omega}{s^2 + \omega^2}$$

若无重极点，则有
$$X_o(s) = \sum_{i=1}^n \frac{A_i}{s - s_i} + \left(\frac{B}{s - j\omega} + \frac{B^*}{s + j\omega} \right)$$

故 $x_o(t) = \sum_{i=1}^n A_i e^{s_i t} + (B e^{j\omega t} + B^* e^{j\omega t})$ 若系统稳定，则有 $x_o(t) = B e^{j\omega t} + B^* e^{j\omega t}$

其中 $B = G(s) \frac{X_i \omega}{(s - j\omega)(s + j\omega)} \Big|_{s=j\omega} = G(s) \frac{X_i \omega}{s + j\omega} \Big|_{s=j\omega}$ 同理

$$= G(j\omega) \cdot \frac{X_i}{2j} = |G(j\omega)| e^{j\angle G(j\omega)} \cdot \frac{X_i}{2j}$$

$$B^* = G(-j\omega) \cdot \frac{X_i}{-2j} = |G(j\omega)| e^{-j\angle G(j\omega)} \cdot \frac{X_i}{-2j}$$

所以
$$x_o(t) = |G(j\omega)| X_i \frac{e^{j[\omega t + \angle G(j\omega)]} - e^{-j[\omega t + \angle G(j\omega)]}}{2j} = |G(j\omega)| X_i \sin[\omega t + \angle G(j\omega)]$$

即

$$\begin{cases} A(\omega) = \frac{X_o(\omega)}{X_i} = |G(j\omega)| \\ \varphi(\omega) = \angle G(j\omega) \end{cases}$$

故 $G(j\omega) = |G(j\omega)| e^{j\angle G(j\omega)}$
就是系统的频率特性

3. 频率特性的求法

(1) 频率响应 频率特性

如前例 系统的传递函数 $G(s) = \frac{K}{Ts + 1}$, $X_i(s) = \frac{X_i \omega}{s^2 + \omega^2}$

所以 $x_o(t) = L^{-1} \left[G(s) \frac{X_i \omega}{s^2 + \omega^2} \right]$

稳态输出 (频率响应) $x_o(t) = \frac{X_i K}{\sqrt{1 + T^2 \omega^2}} \sin(\omega t - \arctg T \omega)$

所以系统的频率特性为 $\begin{cases} A(\omega) = \frac{X_o(\omega)}{X_i} = \frac{K}{\sqrt{1 + T^2 \omega^2}} \\ \varphi(\omega) = -\arctg T \omega \end{cases}$ 或 $\frac{K}{\sqrt{1 + T^2 \omega^2}} e^{-j \arctg T \omega}$

(2) 传递函数 频率特性 $G(j\omega) = G(s)|_{s=j\omega}$

如上例 $G(j\omega) = G(s)|_{s=j\omega} = \frac{K}{1 + jT\omega} = \frac{K}{\sqrt{1 + T^2 \omega^2}} e^{-j \arctg T \omega}$ 即 $\begin{cases} A(\omega) = |G(j\omega)| = \frac{K}{\sqrt{1 + T^2 \omega^2}} \\ \varphi(\omega) = \angle G(j\omega) = -\arctg T \omega \end{cases}$

频率响应 $x_o(t) = X_i |G(j\omega)| \sin[\omega t + \angle G(j\omega)] = \frac{X_i K}{\sqrt{1 + T^2 \omega^2}} \sin(\omega t - \arctg T \omega)$

(3) 实验方法

4. 频率特性的表示法

(1) 解析表示

幅频—相频

$$G(j\omega) = \frac{X_o(\omega)}{X_i} e^{j\varphi(\omega)} = A(\omega) e^{j\varphi(\omega)} = |G(j\omega)| e^{j\angle G(j\omega)} = |G(j\omega)| \cdot \angle G(j\omega)$$

相频特性

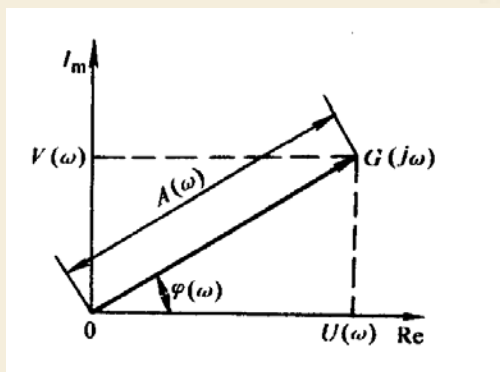
幅频特性

实频—虚频

$$\begin{aligned} G(j\omega) &= A(\omega) e^{j\varphi(\omega)} = A(\omega) [\cos \varphi(\omega) + j \sin \varphi(\omega)] \\ &= \operatorname{Re}[G(j\omega)] + j \operatorname{Im}[G(j\omega)] = U(\omega) + jV(\omega) \end{aligned}$$

实频特性

虚频特性



(2) 图示方法

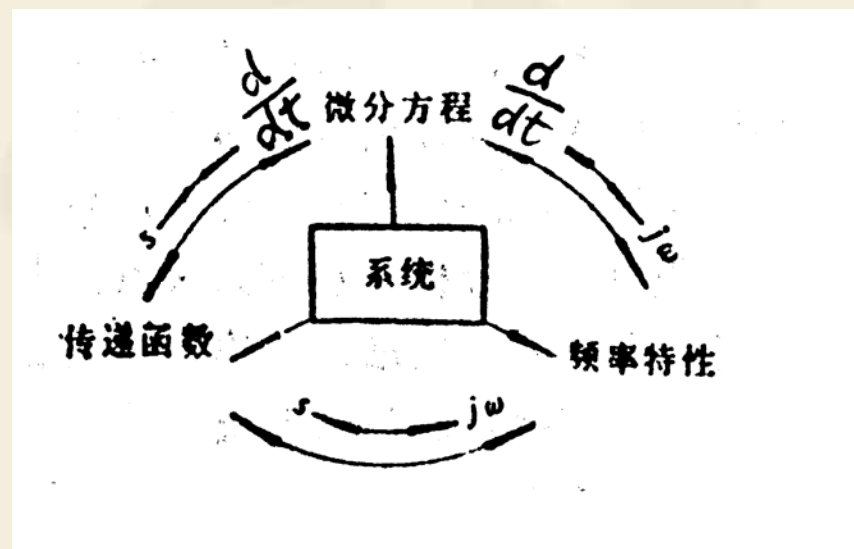
Nyquist 图（极坐标图，幅相频率特性图）

Bode 图（对数坐标图，对数频率特性图）

5. 频率特性的特点

(1) 频率特性是频域中描述系统动态特性的数学模型

(2) 频率特性是系统单位脉冲响应函数 $\omega(t)$ 的Fourier变换



由 $X_o(s) = G(s)X_i(s)$ 有 $X_o(j\omega) = G(j\omega)X_i(j\omega)$
而当 $x_i(t) = \delta(t)$ 时, $x_o(t) = h(t)$,
且 $X_i(j\omega) = F[\delta(t)] = 1$ 故 $X_o(j\omega) = G(j\omega)$
即 $F[h(t)] = G(j\omega)$

(3) 分析简便

(4) 易于实验求取

二、频率特性的极坐标图(Nyquist图)

$G(j\omega)$: ω 的复变函数

给定 ω , $G(j\omega)$ 是复平面上的一矢量

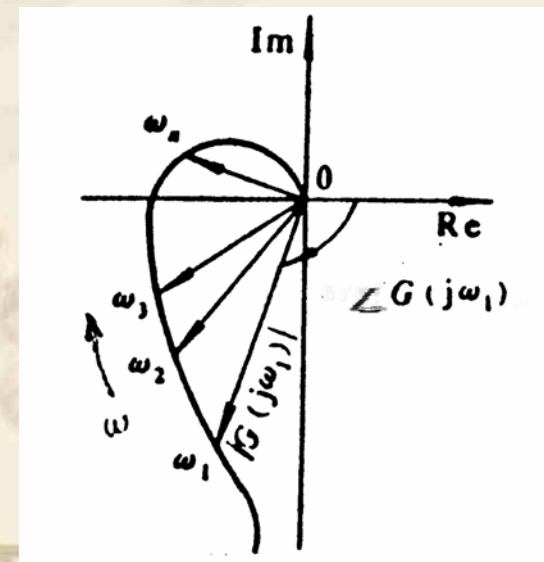
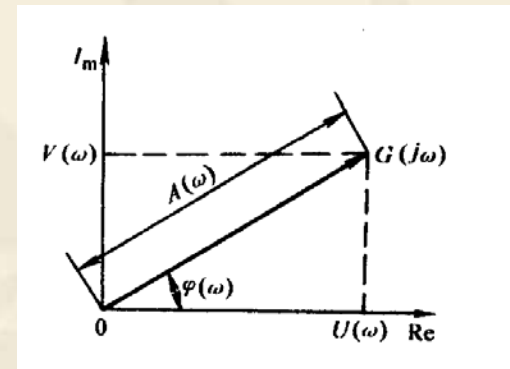
幅值 : $A(\omega) = |G(j\omega)|$

相角(与正实轴的夹角, 逆时针为正) : $\varphi(\omega) = \angle G(j\omega)$

实部 : $U(\omega) = A(\omega)\cos\varphi(\omega)$

虚部 : $V(\omega) = A(\omega)\sin\varphi(\omega)$

ω 从 $0 \rightarrow \infty$ 时,
 $G(j\omega)$ 端点的轨迹 : 频率特性的极坐标图
(Nyquist图)



1. 典型环节的Nyquist图

(1) 比例环节

传递函数： $G(s)=K$

频率特性： $G(j\omega)=K$

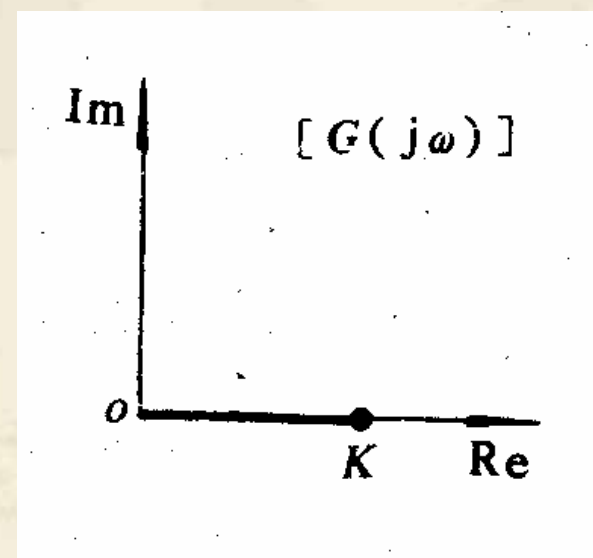
幅频： $|G(j\omega)| = K$

相频： $\angle G(j\omega)=0^\circ$

实频： $U(\omega)=K$

虚频： $V(\omega)=0$

实轴上的一点，其坐标为 $(K, j0)$



1. 典型环节的Nyquist图

(2) 积分环节

传递函数： $G(s)=1/s$

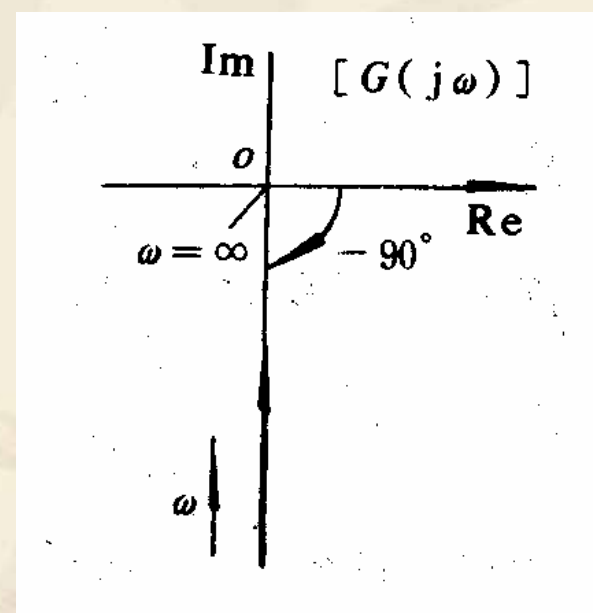
频率特性： $G(j\omega)=1/j\omega$

幅频： $|G(j\omega)| = 1/\omega$

相频： $\angle G(j\omega) = -90^\circ$

实频： $U(\omega)=0$

虚频： $V(\omega) = -1/\omega$



虚轴的下半轴，由无穷远点指向原点

1. 典型环节的Nyquist图

(3) 微分环节

传递函数： $G(s)=s$

频率特性： $G(j\omega)=j\omega$

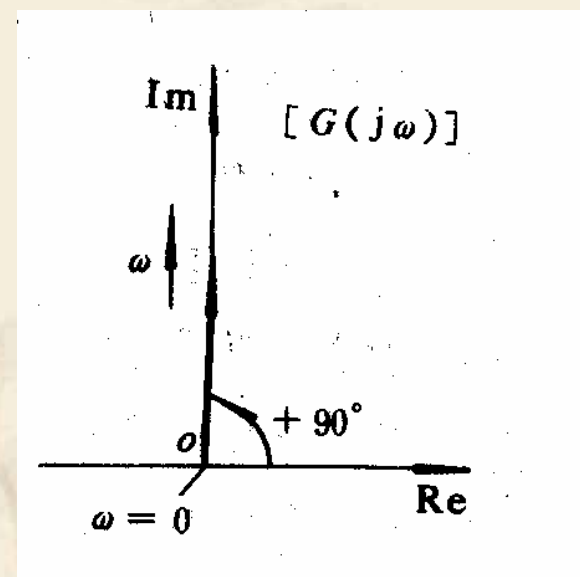
幅频： $|G(j\omega)| = \omega$

相频： $\angle G(j\omega)=90^\circ$

实频： $U(\omega)=0$

虚频： $V(\omega)=\omega$

虚轴的上半轴，由原点指向无穷远点



1. 典型环节的Nyquist图

(5) 一阶微分环节

传递函数： $G(s)=1+Ts$

频率特性： $G(j\omega)=1+jT\omega$

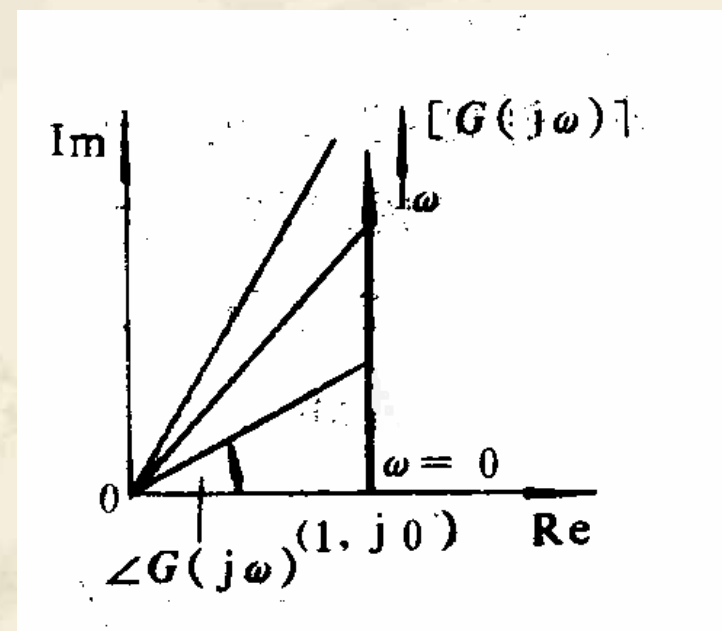
幅频： $|G(j\omega)| = \sqrt{1+T^2\omega^2}$

相频： $\angle G(j\omega) = \arctg T\omega$

实频： $U(\omega)=1$

虚频： $V(\omega)=T\omega$

始于点(1, j0)，平行于虚轴



1. 典型环节的Nyquist图

(6) 振荡环节

传递函数：
$$G(s) = \frac{\omega_n^2}{s^2 + 2\xi\omega_n s + \omega_n^2}$$

频率特性：
$$G(j\omega) = \frac{\omega_n^2}{-\omega^2 + \omega_n^2 + j2\xi\omega_n\omega} \quad (0 < \xi < 1)$$

(令 $\lambda = \omega/\omega_n$) ,
$$G(j\omega) = \frac{1}{(1-\lambda^2) + j2\xi\lambda} = \frac{1-\lambda^2}{(1-\lambda^2)^2 + j4\xi^2\lambda^2} - j\frac{2\xi\lambda}{(1-\lambda^2)^2 + j4\xi^2\lambda^2}$$

幅频：
$$|G(j\omega)| = \frac{1}{\sqrt{(1-\lambda^2)^2 + 4\xi^2\lambda^2}}$$

相频：
$$\angle G(j\omega) = -\arctg \frac{2\xi\lambda}{1-\lambda^2}$$

实频：
$$U(\omega) = \frac{1-\lambda^2}{(1-\lambda^2)^2 + 4\xi^2\lambda^2}$$

虚频：
$$V(\omega) = -\frac{2\xi\lambda}{(1-\lambda^2)^2 + 4\xi^2\lambda^2}$$

当 $\lambda=0$, 即 $\omega=0$ 时 , $|G(j\omega)|=1$, $\angle G(j\omega)=0^\circ$;

当 $\lambda=1$, 即 $\omega=\omega_n$ 时 , $|G(j\omega)|=1/(2\xi)$, $\angle G(j\omega)=-90^\circ$;

当 $\lambda=\infty$, 即 $\omega=\infty$ 时 , $|G(j\omega)|=0$, $\angle G(j\omega)=-180^\circ$;

1. 典型环节的Nyquist图

(6) 振荡环节

当 λ 从 $0 \rightarrow \infty$ (即 λ 由 $0 \rightarrow \infty$) 时, $G(j\omega)$ 的幅值由 $1 \rightarrow 0$, 其相位由 $0^\circ \rightarrow 180^\circ$ 。
其Nyquist图始于点 $(1, j0)$, 而终于点 $(0, j0)$ 。

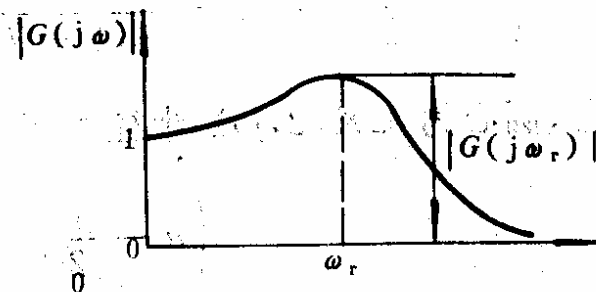
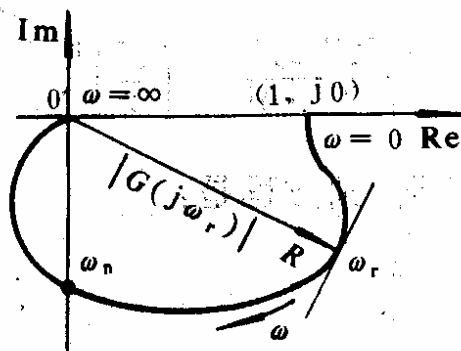
曲线与虚轴的交点的频率就是无阻尼固有频率 ω_n , 此时的幅值为 $1/(2\xi)$
< 0.707 时, $|G(j\omega)|$ 在频率为 ω_r 处出现峰值(谐振峰值, ω_r - 谐振频率)

$$\text{由 } \left. \frac{\partial |G(j\omega)|}{\partial \omega} \right|_{\omega=\omega_r} = 0 \quad \text{有} \quad \omega_r = \omega_n \sqrt{1 - 2\xi^2} \quad |G(j\omega_r)| = \frac{1}{2\xi \sqrt{1 - 2\xi^2}}$$

显然 $\omega_r < \omega_d < \omega_n$

$$\omega_d = \omega_n \sqrt{1 - \xi^2}$$

(有阻尼固有频率)

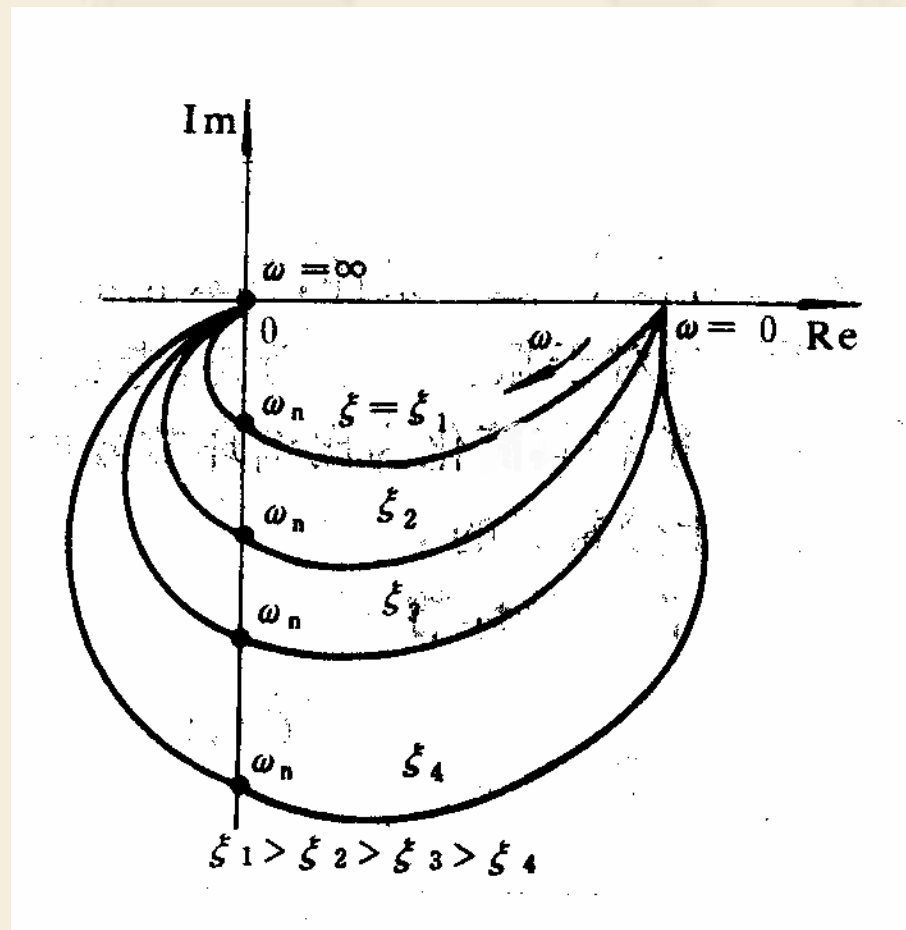


1. 典型环节的Nyquist图

(6) 振荡环节

阻尼比 的影响

- 0.707 ,
无谐振
- 1 ,
两个一阶环节的组合



1. 典型环节的Nyquist图

(7) 延时环节

传递函数： $G(s)=e^{-\tau s}$

频率特性： $G(j\omega)=e^{-j\tau\omega}=\cos \tau\omega - j\sin \tau\omega$

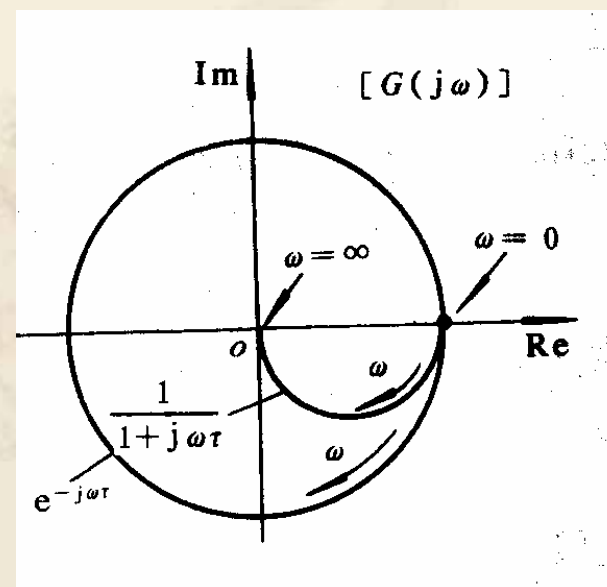
幅频： $|G(j\omega)| = 1$

相频： $\angle G(j\omega) = -\tau\omega$

实频： $U(\omega)=\cos \tau\omega$

虚频： $V(\omega)= -\sin \tau\omega$

Nyquist图：单位圆



2. 绘制Nyquist图的一般方法

- 1) 由 $G(j\omega)$ 求出其实频特性 $\text{Re}[G(j\omega)]$ 、虚频特性 $\text{Im}[G(j\omega)]$ 和幅频特性 $|G(j\omega)|$ 、相频特性 $\angle G(j\omega)$ 的表达式；
- 2) 求出若干特征点，如起点($\omega=0$)、终点($\omega=\infty$)、与实轴的交点($\text{Im}[G(j\omega)]=0$)、与虚轴的交点($\text{Re}[G(j\omega)]=0$)等，并标注在极坐标图上；
- 3) 补充必要的几点，根据 $|G(j\omega)|$ 、 $\angle G(j\omega)$ 和 $\text{Re}[G(j\omega)]$ 、 $\text{Im}[G(j\omega)]$ 的变化趋势以及 $G(j\omega)$ 所处的象限，作出Nyquist曲线的大致图形。

例1 系统的传递函数 $G(s) = \frac{K}{s(Ts + 1)}$

解 系统的频率特性

$$G(j\omega) = \frac{K}{j\omega(1 + jT\omega)} = K \cdot \frac{1}{j\omega} \cdot \frac{1}{1 + jT\omega} = \frac{-KT}{1 + T^2\omega^2} - j \frac{K}{\omega(1 + T^2\omega^2)}$$

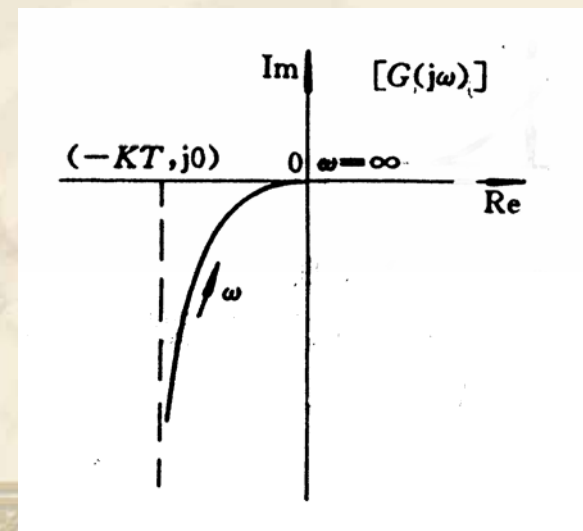
幅频： $|G(j\omega)| = \frac{K}{\omega\sqrt{1 + T^2\omega^2}}$ 相频： $\angle G(j\omega) = -90^\circ - \arctg T\omega$

实频： $U(\omega) = \frac{-KT}{1 + T^2\omega^2}$ 虚频： $V(\omega) = -\frac{K}{\omega(1 + T^2\omega^2)}$

$\omega = 0$, $U(\omega) = -KT$, $V(\omega) = -\infty$,
 $|G(j\omega)| = \infty$, $\angle G(j\omega) = -90^\circ$

$\omega = \infty$, $U(\omega) = 0$, $V(\omega) = 0$,
 $|G(j\omega)| = 0$, $\angle G(j\omega) = -180^\circ$

积分环节改变了起始点（低频段）



例2 系统的传递函数 $G(s) = \frac{K}{s^2(1+T_1s)(1+T_2s)}$

解 系统的频率特性

$$G(j\omega) = \frac{K}{(j\omega)^2(1+jT_1\omega)(1+jT_2\omega)} = \frac{K(1-T_1T_2\omega^2)}{-\omega^2(1+T_1^2\omega^2)(1+T_2^2\omega^2)} + j \frac{K(T_1+T_2)}{\omega(1+T_1^2\omega^2)(1+T_2^2\omega^2)}$$

幅频 : $|G(j\omega)| = \frac{K}{\omega^2 \sqrt{1+T_1^2\omega^2} \sqrt{1+T_2^2\omega^2}}$ **相频** : $\angle G(j\omega) = -180^\circ - \arctg T_1\omega - \arctg T_2\omega$

实频 : $U(\omega) = \frac{K(1-T_1T_2\omega^2)}{-\omega^2(1+T_1^2\omega^2)(1+T_2^2\omega^2)}$ **虚频** : $V(\omega) = \frac{K(T_1+T_2)}{\omega(1+T_1^2\omega^2)(1+T_2^2\omega^2)}$

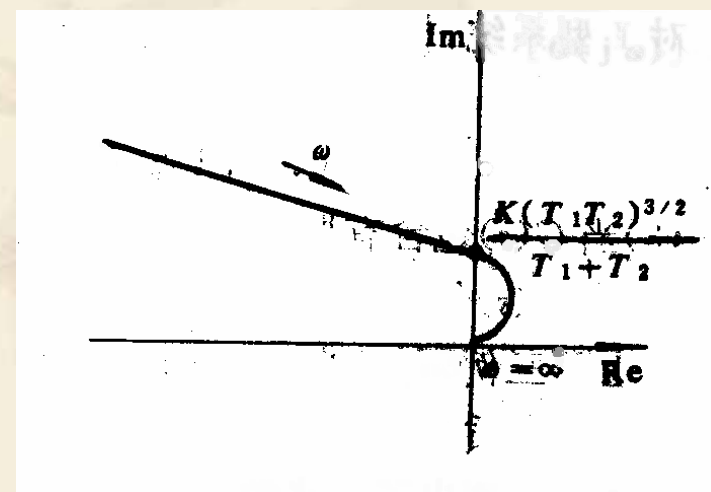
$$\omega = 0, U(\omega) = -\infty, V(\omega) = \infty,$$

$$|G(j\omega)| = \infty, \angle G(j\omega) = -180^\circ$$

$$\omega = \infty, U(\omega) = 0, V(\omega) = 0,$$

$$|G(j\omega)| = 0, \angle G(j\omega) = -180^\circ$$

$$\omega = \frac{1}{\sqrt{T_1T_2}} \quad U(\omega) = 0 \quad V(\omega) = \frac{K(T_1T_2)^{3/2}}{T_1+T_2}$$



3. Nyquist图的一般形状

$$G(j\omega) = \frac{K(1+j\tau_1\omega)(1+j\tau_2\omega)\cdots(1+j\tau_m\omega)}{(j\omega)^v(1+jT_1\omega)(1+jT_2\omega)\cdots(1+jT_n\omega)} \quad (m \leq n)$$

1) 当 $\omega = 0$ 时：

对0型系统， $|G(j\omega)|=K$ ， $\angle G(j\omega)=0^\circ$ ，Nyquist曲线的起始点是一个在正实轴上有有限值的点；

对Ⅰ型系统， $|G(j\omega)|=$ ， $\angle G(j\omega)=-90^\circ$ ，在低频段，Nyquist曲线渐近于与负虚轴平行的直线；

对Ⅱ型系统， $|G(j\omega)|=$ ， $\angle G(j\omega)=-180^\circ$ ，在低频段， $G(j\omega)$ 负实部是比虚部阶数更高的无穷大。

2) 当 $\omega \rightarrow \infty$ 时， $|G(j\omega)|=0$ ， $\angle G(j\omega)=(m-n) \times 90^\circ$ 。

3) 当 $G(s)$ 包含有导前环节时，若由于相位非单调下降，则Nyquist曲线将发生“弯曲”。

三、频率特性的对数坐标图(Bode图)

1. Bode图

分别表示幅频和相频

对数幅频特性图

横坐标：，对数分度，标注真值；

几何上的等分 真值的等比

纵坐标： $|G(j\omega)|$ 的分贝值 (dB)，

$\text{dB}=20\lg |G(j\omega)|$ ；线性分度；

特别：

0dB， $|G(j\omega)|=1$ ，

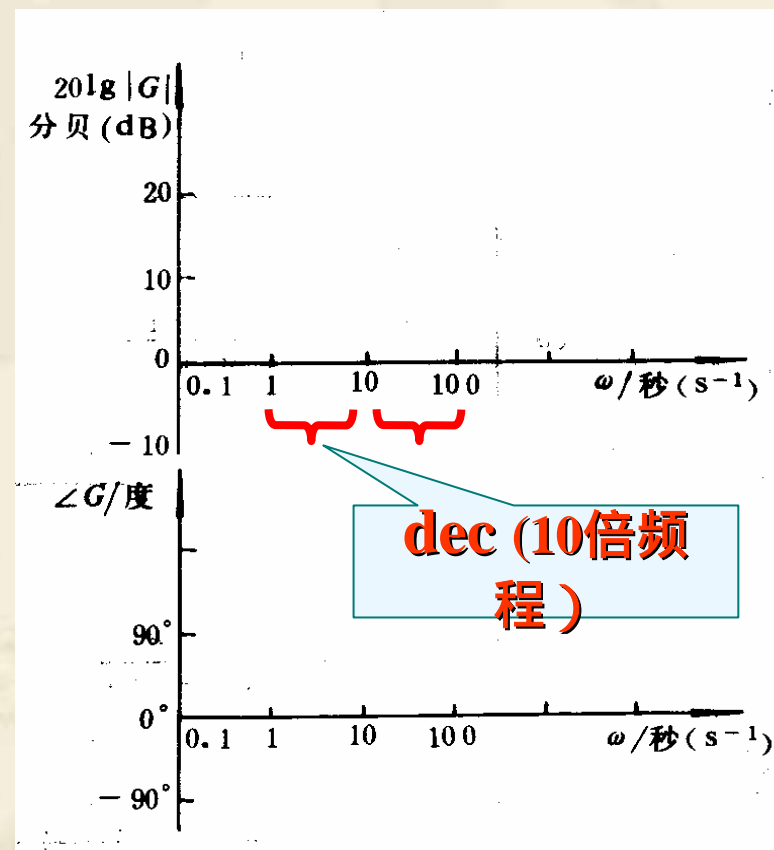
输出幅值=输入幅值

dB>0， $|G(j\omega)|>1$ ，

输出幅值>输入幅值(放大)

dB<0， $|G(j\omega)|<1$ ，

输出幅值<输入幅值(衰减)



对数相频特性图

横坐标：同上

纵坐标： $G(j\omega)$ ，
线性分度；

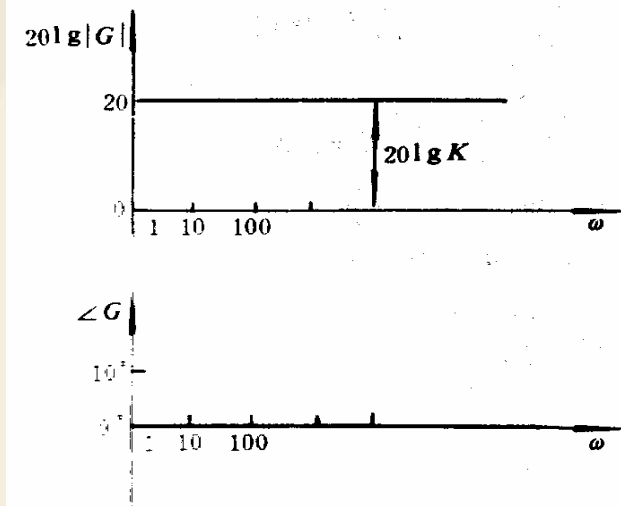
Bode图优点

- 1) 作图简单：化乘除为加减，系统的Bode图为各环节的Bode图的线性叠加；可通过近似方法作图；
- 2) 便于细化感兴趣的频段；
- 3) 物理意义明显；
- 4) 环节对系统性能的影响明显；

2. 典型环节的Bode图

(1) 比例环节 $G(s)=K$ $G(j\omega)=K$

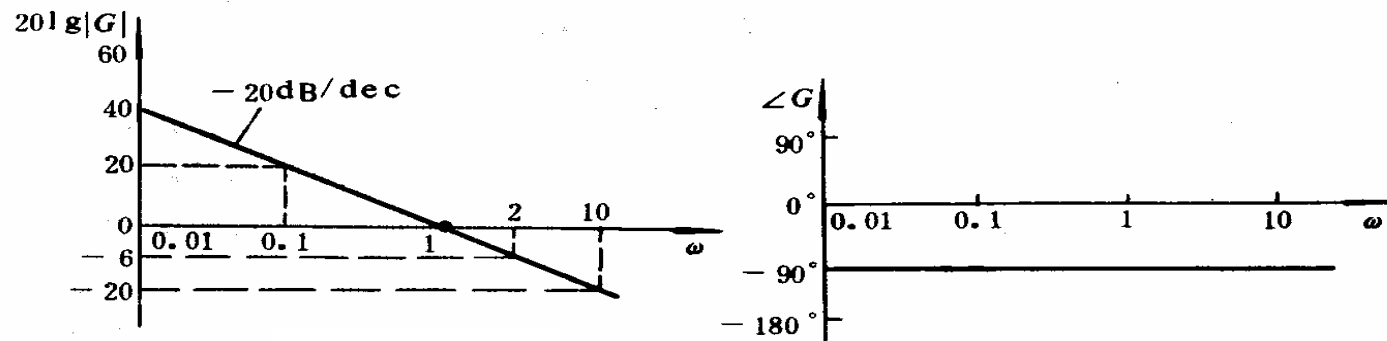
$$20\lg |G(j\omega)| = 20\lg K ; \quad \angle G(j\omega)=0^\circ$$



(2) 积分环节 $G(s)=1/s$ $G(j\omega)=1/j\omega$

$$20\lg |G(j\omega)| = 20\lg 1/\omega = -20\lg \omega$$

$$\angle G(j\omega) = -90^\circ$$



对数幅频特性：过点 $(1, 0)$

斜率 -20dB/dec 的直线

对数相频特性：过点 $(0, -90^\circ)$

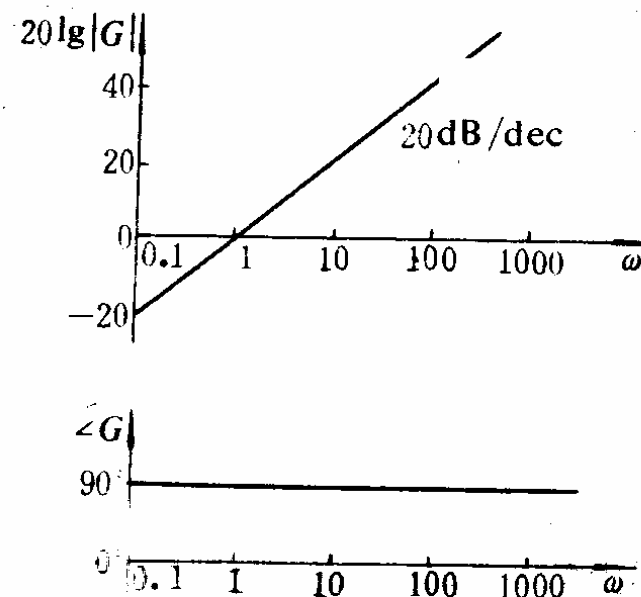
平行于横轴的直线

2. 典型环节的Bode图

(3) 微分环节 $G(s)=s$ $G(j\omega)=j\omega$

$$20\lg |G(j\omega)| = 20\lg \omega$$

$$\angle G(j\omega) = 90^\circ$$



对数幅频特性：过点 $(1, 0)$ 斜率20dB/dec的直线

对数相频特性：过点 $(0, 90^\circ)$ 平行于横轴的直线

2. 典型环节的Bode图

(4) 惯性环节 $G(s) = \frac{1}{Ts + 1}$ $G(j\omega) = \frac{1}{1 + jT\omega}$

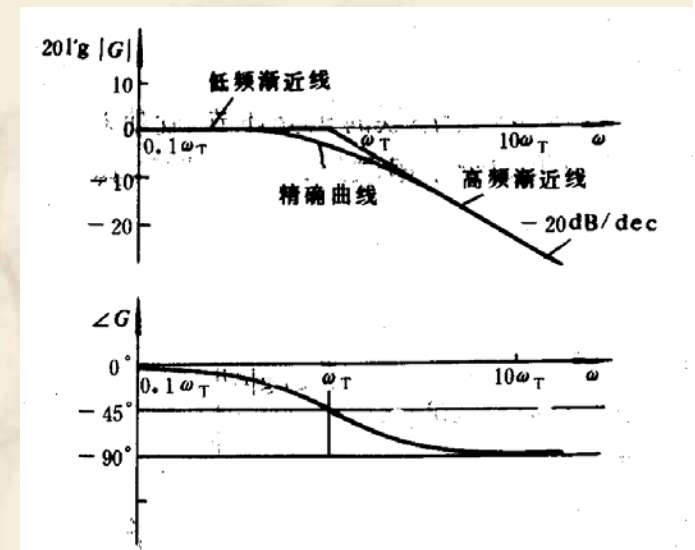
令 $\omega_T = \frac{1}{T}$ $G(j\omega) = \frac{\omega_T}{\omega_T + j\omega}$ 故： $|G(j\omega)| = \frac{\omega_T}{\sqrt{\omega_T^2 + \omega^2}}$ $\angle G(j\omega) = -\arctg \frac{\omega}{\omega_T}$

对数幅频特性： $20\lg|G(j\omega)| = 20\lg \omega_T - 20\lg \sqrt{\omega_T^2 + \omega^2}$

低频段 ($\omega \ll \omega_T$) ,
 $20\lg|G(j\omega)| \approx 20\lg \omega_T - 20\lg \omega_T = 0\text{dB}$

高频段 ($\omega \gg \omega_T$) ,
 $20\lg|G(j\omega)| \approx 20\lg \omega_T - 20\lg \omega$

始于点 ($\omega_T, 0$) , 斜率 -20dB/dec 的直线
 ω_T : 转角频率



$$20\lg|G(j\omega)| = 20\lg \omega_T - 20\lg \sqrt{\omega_T^2 + \omega^2}$$

低频段渐近线 : $20\lg |G(j\omega)| \approx 0\text{dB}$

误差 : $e(\omega) = 20\lg \omega_T - 20\lg \sqrt{\omega_T^2 + \omega^2}$

高频段渐近线 : $20\lg |G(j\omega)| \approx 20\lg \omega_T - 20\lg \omega$

误差 : $e(\omega) = 20\lg \omega - 20\lg \sqrt{\omega_T^2 + \omega^2}$

对数相频特性 :

由 : $\angle G(j\omega) = -\arctg \frac{\omega}{\omega_T}$

$\omega=0$, $\angle G(j\omega)=0^\circ$;

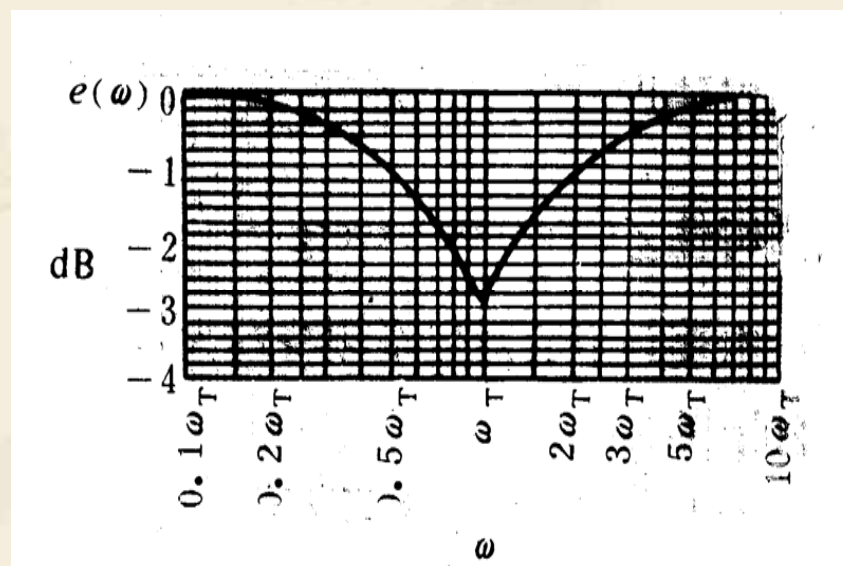
$\omega=\omega_T$, $\angle G(j\omega)= -45^\circ$;

$\omega=\infty$, $\angle G(j\omega)= -90^\circ$;

对数相频特性曲线对称于点
(ω_T , -45°)

$\omega = 0.1\omega_T$ 时 , $\angle G(j\omega) \rightarrow 0^\circ$

$\omega = 10\omega_T$ 时 , $\angle G(j\omega) \rightarrow -90^\circ$



2. 典型环节的Bode图

(5) 一阶微分环节 $G(s) = 1 + Ts$ $G(j\omega) = 1 + jT\omega = \frac{\omega_T + j\omega}{\omega_T}$ ($\omega_T = \frac{1}{T}$)

故： $|G(j\omega)| = \frac{\sqrt{\omega_T^2 + \omega^2}}{\omega_T}$ $\angle G(j\omega) = \arctg \frac{\omega_T}{\omega}$

T ：转角频率

对数幅频特性： $20\lg|G(j\omega)| = 20\lg\sqrt{\omega_T^2 + \omega^2} - 20\lg\omega_T$

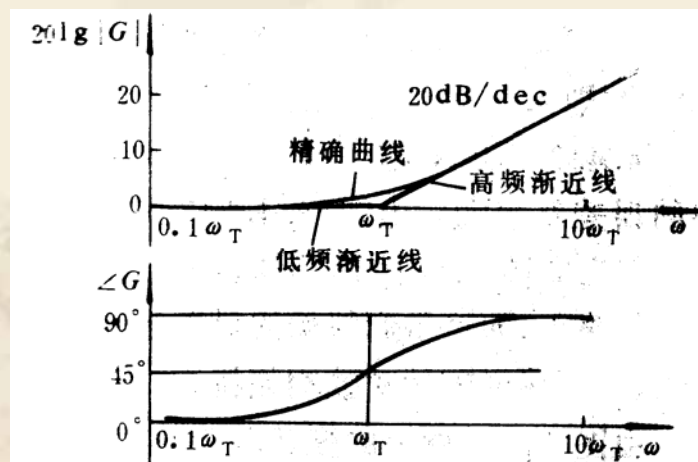
低频段 ($\omega \ll \omega_T$) ,

$20\lg|G(j\omega)| \approx 20\lg\omega_T - 20\lg\omega_T = 0\text{dB}$

高频段 ($\omega \gg \omega_T$) ,

$20\lg|G(j\omega)| \approx 20\lg\omega - 20\lg\omega_T$

始于点 ($\omega_T, 0$) , 斜率 20dB/dec 的直线



对数相频特性：

$\omega=0$, $\angle G(j\omega)=0^\circ$; $\omega=\omega_T$, $\angle G(j\omega)=45^\circ$; $\omega=\infty$, $\angle G(j\omega)=90^\circ$;

对数相频特性曲线对称于点 ($\omega_T, 45^\circ$)

2. 典型环节的Bode图

(6) 振荡环节

$$G(s) = \frac{\omega_n}{s^2 + 2\xi\omega_n s + \omega_n^2} \quad (0 \leq \xi < 1)$$

$$G(j\omega) = \frac{\omega_n^2}{-\omega^2 + \omega_n^2 + j2\xi\omega_n\omega} = \frac{1}{(1-\lambda^2) + j2\xi\lambda} \quad (\lambda = \frac{\omega}{\omega_n})$$

$$|G(j\omega)| = \frac{1}{\sqrt{(1-\lambda^2)^2 + 4\xi^2\lambda^2}} \quad \angle G(j\omega) = -\arctg \frac{2\xi\lambda}{1-\lambda^2}$$

对数幅频特性： $20\lg|G(j\omega)| = -20\lg\sqrt{(1-\lambda^2)^2 + 4\xi^2\lambda^2}$

低频段 ($\omega \ll \omega_n$; $\lambda \ll 1$) ,
 $20\lg|G(j\omega)| \approx 0\text{dB}$ (0dB线)

高频段 ($\omega \gg \omega_n$; $\lambda \gg 1$) ,
 $20\lg|G(j\omega)| \approx -40\lg\omega = -40\lg\omega + 40\lg\omega_n$
 (始于点 ($\omega_n, 0$) , 斜率 - 40dB/dec的直线)

ω_n : 转角频率

2. 典型环节的Bode图

(6) 振荡环节

误差：

低频段

$$e(\lambda, \xi) = -20 \lg \sqrt{(1 - \lambda^2)^2 + 4\xi^2 \lambda^2}$$

高频段

$$e(\lambda, \xi) = 40 \lg \lambda - 20 \lg \sqrt{(1 - \lambda^2)^2 + 4\xi^2 \lambda^2}$$

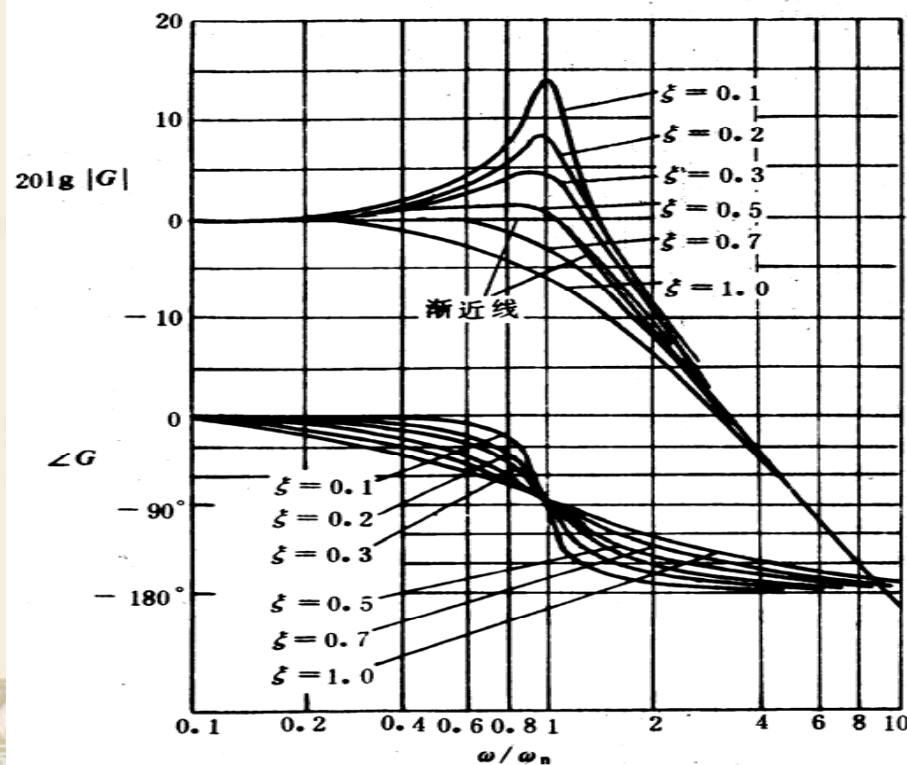
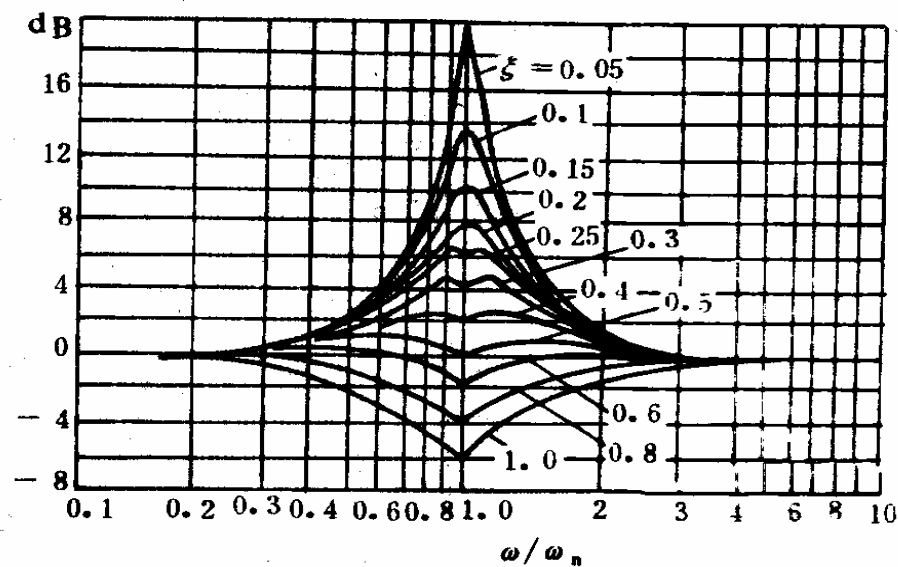
对数相频特性：

$\omega=0$, $\angle G(j\omega)=0^\circ$;

$\omega=\omega_n$, $\angle G(j\omega)= -90^\circ$;

$\omega=\infty$, $\angle G(j\omega)= -180^\circ$;

对数相频特性曲线对称于点
(ω_n , -90°)



2. 典型环节的Bode图

(7) 二阶微分环节 $G(s) = \frac{s^2}{\omega_n^2} + \frac{2\xi}{\omega_n}s + 1$

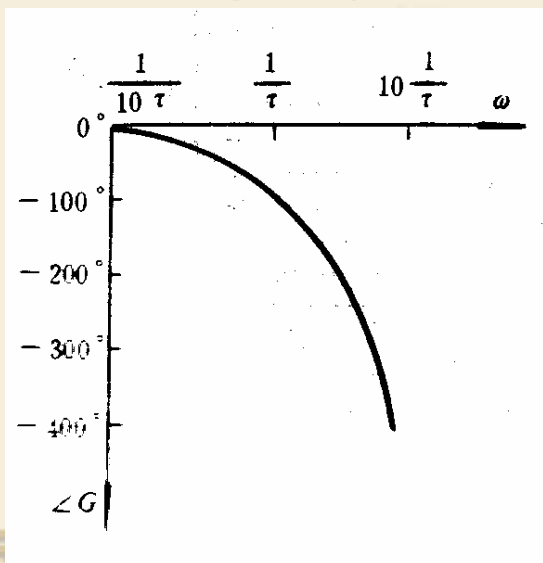
$$G(j\omega) = -\frac{\omega^2}{\omega_n^2} + j2\xi \frac{\omega}{\omega_n} + 1$$

与二阶振荡系统Bode图对称于频率轴。

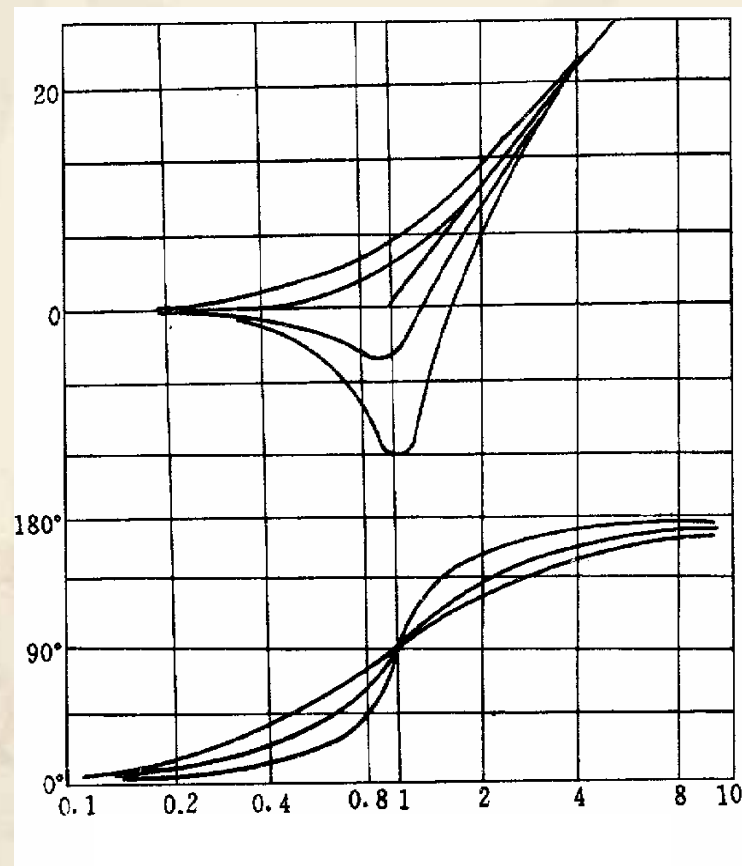
(8) 延时环节 $G(s) = e^{-\tau s}$ $G(j\omega) = e^{-j\tau\omega}$

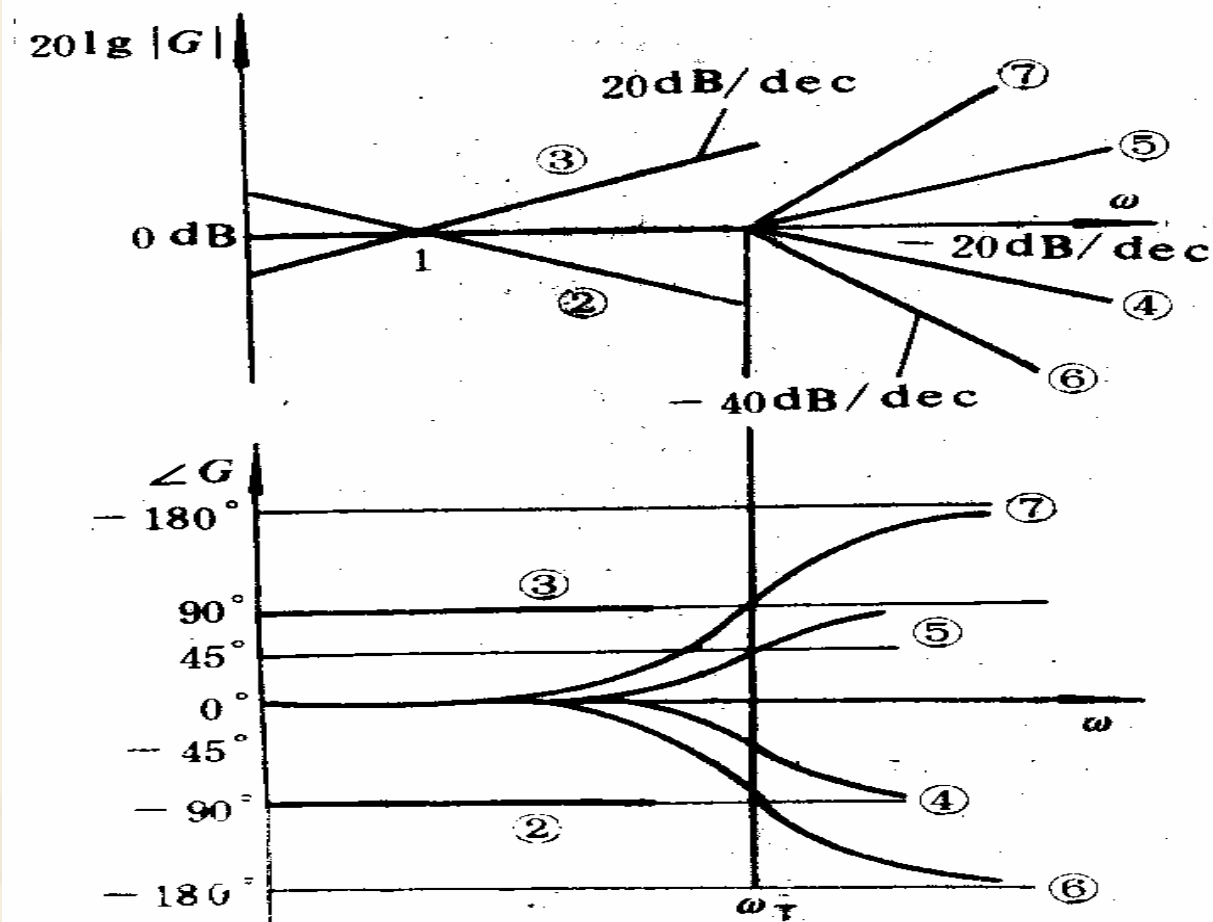
$$|G(j\omega)| = 1 \quad \angle G(j\omega) = -\tau\omega$$

$$20\lg |G(j\omega)| = 0\text{dB}$$



因对数分度，
直线 曲线





- | | |
|--------|----------|
| ② 积分环节 | ⑤ 导前环节 |
| ③ 微分环节 | ⑥ 振荡环节 |
| ④ 惯性环节 | ⑦ 二阶微分环节 |

3. 系统Bode图的绘制

(1) 环节曲线叠加法

- 1) $G(s)$ 标准形 (常数项为1) $G(j\omega)$
- 2) 求典型环节的转角频率 (惯性、一阶微分、振荡和二阶微分环节)
- 3) 作出各环节的对数幅频特性的渐近线
- 4) 误差修正 (必要时)
- 5) 将各环节的对数幅频特性叠加(不包括系统总的增益K)
- 6) 将叠加后的曲线垂直移动 $20\lg K$, 得到系统的对数幅频特性
- 7) 作各环节的对数相频特性, 然后叠加而得到系统总的对数相频特性
- 8) 有延时环节时, 对数幅频特性不变, 对数相频特性则应加上

- $\tau\omega$

3. 系统Bode图的绘制

(1) 环节曲线叠加法

例 $G(s) = \frac{24(0.25s + 0.5)}{(5s + 2)(0.05s + 2)}$

1) $G(s)$ 标准形 $G(j\omega)$

$$G(s) = \frac{3(0.5s + 1)}{(2.5s + 1)(0.025s + 1)}$$

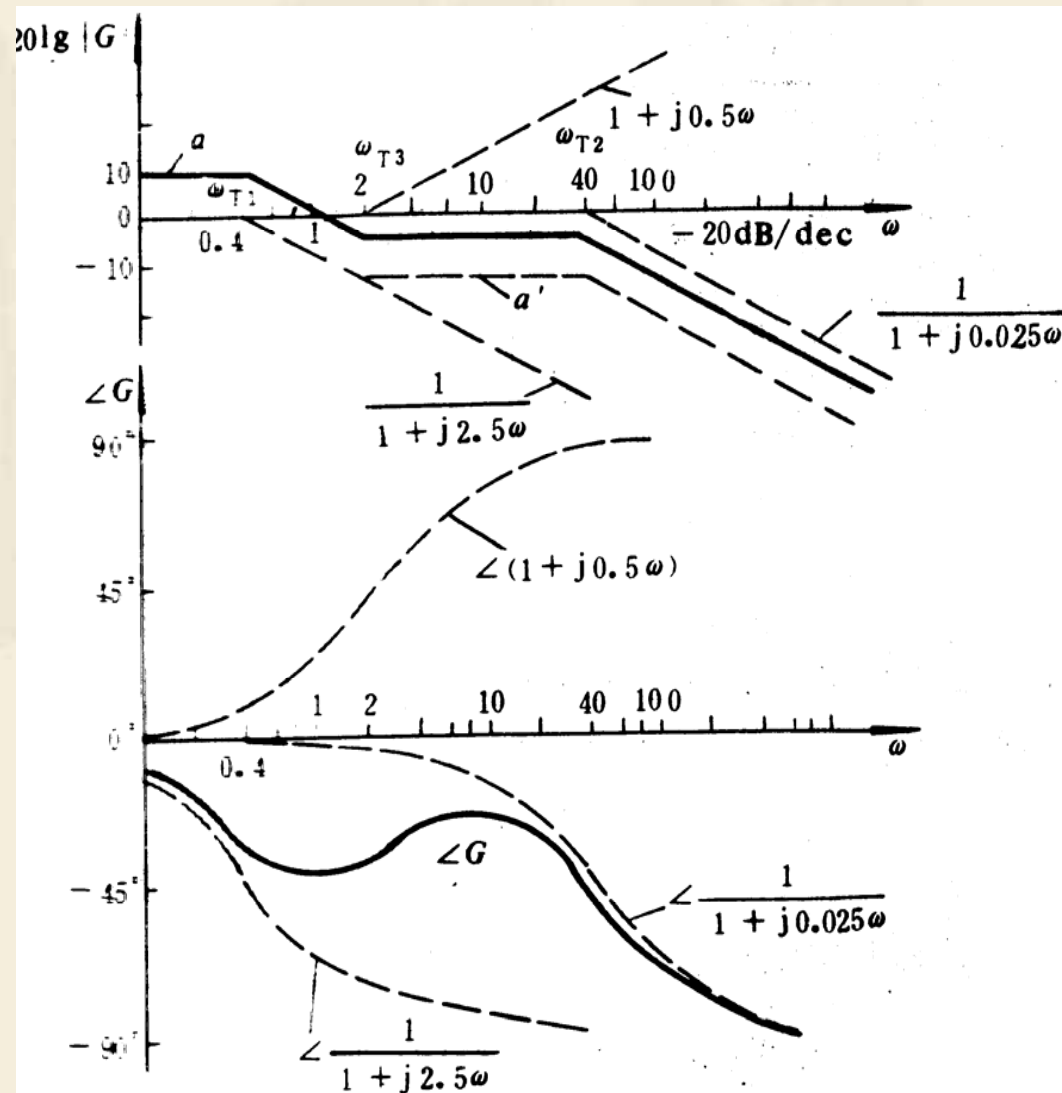
$$G(j\omega) = \frac{3(1 + j0.5\omega)}{(1 + j2.5\omega)(1 + j0.025\omega)}$$

2) 转角频率

$$T_1 = 0.4 \quad T_2 = 40 \quad T_3 = 2$$

3) 各环节的对数幅频特性的渐近线，叠加，平移

4) 各环节的对数相频特性曲线，叠加



3. 系统Bode图的绘制

(2) 顺序斜率法

$$G(j\omega) = \frac{K(1+j\tau_1\omega)(1+j\tau_2\omega)\cdots(1+j\tau_m\omega)}{(j\omega)^\nu(1+jT_1\omega)(1+jT_2\omega)\cdots(1+jT_{n-\nu}\omega)}$$

- 系统在低频段 $\omega \ll \min\left(\frac{1}{\tau_1}, \frac{1}{\tau_2}, \cdots, \frac{1}{T_1}, \frac{1}{T_2}, \cdots\right)$ 的频率特性为 $\frac{K}{(j\omega)^\nu}$

因此，其对数幅频特性在低频段表现为过点 $(1, 20\lg K)$ ，斜率为 $-20\nu \text{ dB/dec}$ 的直线

- 在各环节的转角频率处，系统的对数幅频特性渐近线的斜率发生变化，其变化量等于相应的环节在其转角频率处斜率的变化量（即其高频渐近线的斜率）。
- 当 $G(j\omega)$ 包含振荡环节或二阶微分环节时，不改变上述结论。

根据上述特点，可以直接绘制系统的对数幅频特性

3. 系统Bode图的绘制

(2) 顺序斜率法

- 1) $G(s)$ 标准形 (常数项为1) $G(j\omega)$;
- 2) 确定各典型环节的转角频率, 并由小到大将其顺序标在横坐标轴上;
- 3) 过点(1, $20\lg K$), 作斜率为 -20ν dB/dec的直线;
- 4) 延长该直线, 并且每遇到一个转角频率便改变一次斜率, 其原则是: 如遇惯性环节的转角频率则斜率增加 -20dB/dec ; 遇一阶微分环节的转角频率, 斜率增加 $+20\text{dB/dec}$; 如遇振荡环节的转角频率, 斜率增加 -40dB/dec ; 二阶微分环节则增加 $+40\text{dB/dec}$ 。
- 5) 如果需要, 可根据误差修正曲线对渐近线进行修正, 其办法是在同一频率处将各环节误差值迭加, 即可得到精确的对数幅频特性曲线。

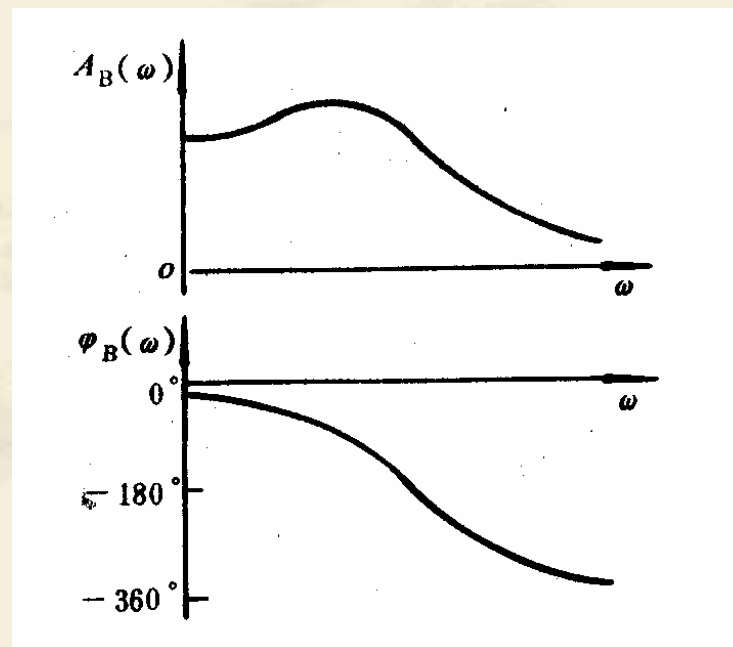
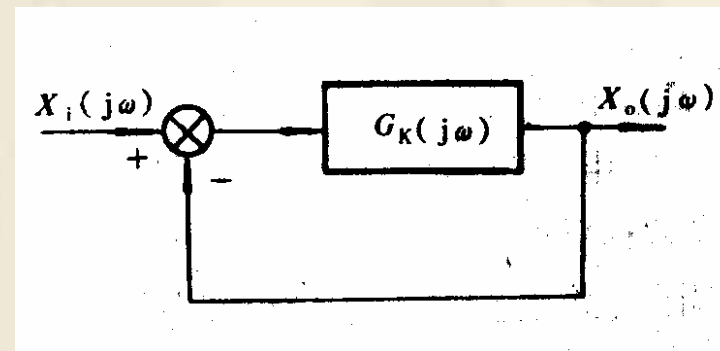
四、闭环频率特性与频域特征量

1. 闭环频率特性

$$\frac{X_o(j\omega)}{X_i(j\omega)} = G_B(j\omega) = \frac{G_K(j\omega)}{1 + G_K(j\omega)}$$

$$A_B(\omega) = |G_B(j\omega)| = \frac{|G_K(j\omega)|}{|1 + G_K(j\omega)|}$$

$$\begin{aligned}\varphi_B(\omega) &= \angle G_B(j\omega) \\ &= \angle G_K(j\omega) - \angle [1 + G_K(j\omega)]\end{aligned}$$



四、闭环频率特性与频域特征量

2. 系统频域特征量（频域性能指标）

- 1) 零频值 $A(0)$
- 2) 复现频率 ω_M 与复现带宽 $0 \sim \omega_M$
- 3) 谐振频率 ω_r 与相对谐振峰值 M_r
$$M_r = \frac{A_{\max}}{A(0)}$$
- 4) 截止频率 ω_b 与截止带宽 $0 \sim \omega_b$
带宽越大，响应的快速性越好

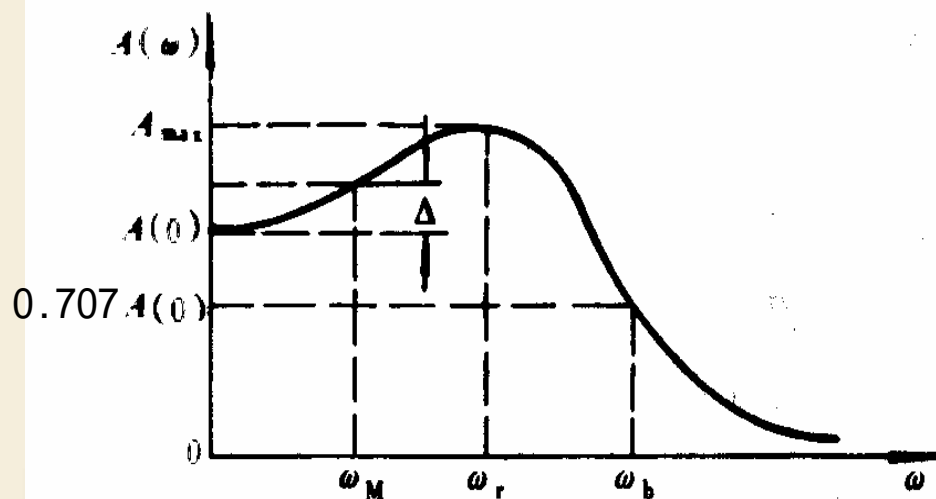


图 4.6.1

五、最小相位系统与非最小相位系统

最小相位系统：所有零点和极点均在[s]平面的左半平面

与非最小相位系统相比：幅频特性相同，但前者的相位变化范围最小

例

$$G_1(s) = \frac{1 + T_1 s}{1 + T_2 s}$$

(最小相位系

统)

$$G_1(j\omega) = \frac{1 + jT_1\omega}{1 + jT_2\omega}$$

$$|G_1(j\omega)| = \frac{\sqrt{1 + T_1^2\omega^2}}{\sqrt{1 + T_2^2\omega^2}}$$

$$\angle G_1(j\omega) = \text{tg}^{-1}T_1\omega - \text{tg}^{-1}T_2\omega$$

$$G_2(s) = \frac{1 - T_1 s}{1 + T_2 s}$$

(非最小相位系统)

$$G_2(j\omega) = \frac{1 - jT_1\omega}{1 + jT_2\omega}$$

$$|G_2(j\omega)| = \frac{\sqrt{1 + T_1^2\omega^2}}{\sqrt{1 + T_2^2\omega^2}}$$

$$\angle G_2(j\omega) = -\text{tg}^{-1}T_1\omega - \text{tg}^{-1}T_2\omega$$

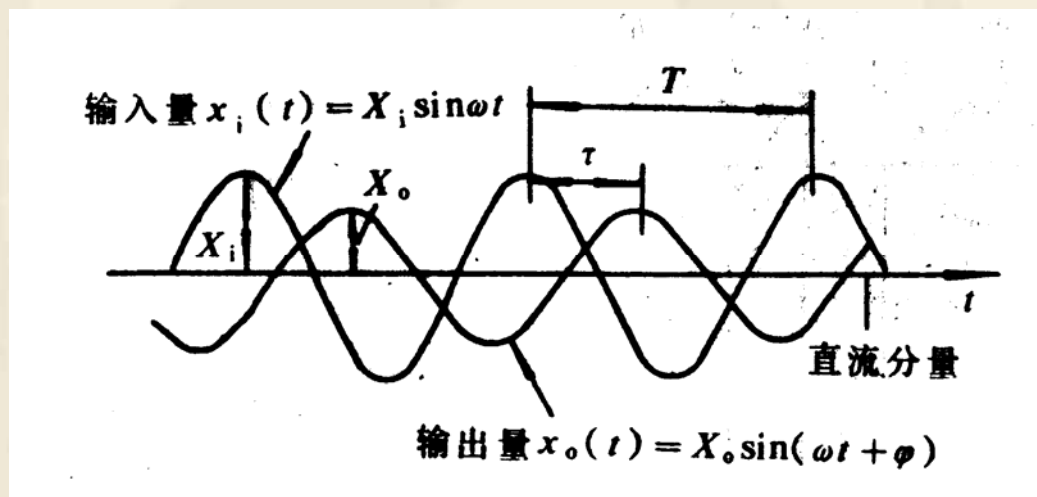
六、系统传递函数的实验确定法

1. 频率特性实验测试

给定频率 $\omega = 1/T$ ，有

$$|G(j\omega)| = \frac{X_o}{X_i} \quad \angle G(j\omega) = -\frac{\tau}{T} \times 360^\circ$$

根据实验得到的各个频率下的幅值比和相位差，就可作出频率特性实验曲线。



2. 频率特性实验曲线 对数幅频特性渐近线

在对数幅频特性图上，用斜率为 $0, \pm 20, \pm 40, \pm 60\text{dB/dec}$ 的渐近线由低频段到高频段逐段逼近实验曲线，得到对数幅

频特性渐近线

3. 对数幅频特性渐近线 传递函数（初步估计，最小相位形式）

$$G(j\omega) = \frac{K(1+j\tau_1\omega)(1+j\tau_2\omega)\cdots(1+j\tau_m\omega)}{(j\omega)^v(1+jT_1\omega)(1+jT_2\omega)\cdots(1+jT_{n-v}\omega)}$$

(1) 确定 K 和

系统在低频段的频率特性为 $\lim_{\omega \rightarrow 0} G(j\omega) = \frac{K}{(j\omega)^v}$

其对数幅频特性点 $(1, 20\lg K)$ ，斜率为 $-20v$ dB/dec的直线
(与零分贝线交点处的频率为 $\omega = \sqrt[v]{K}$)

由此可确定 K 和

(2) 确定系统的组成环节

找出对数幅频特性图上的转角频率，并根据各转角频率处斜率的变化确定各组成环节

4. 非最小相位修正

六、系统传递函数的实验确定法

例1

(1) 幅频特性实验曲线(实线)

渐近特性曲线(虚线)

(2) 由低到高确定转折频率和相应典型环节 $\tau_1=1$; $\tau_2=2$; $\tau_3=8$

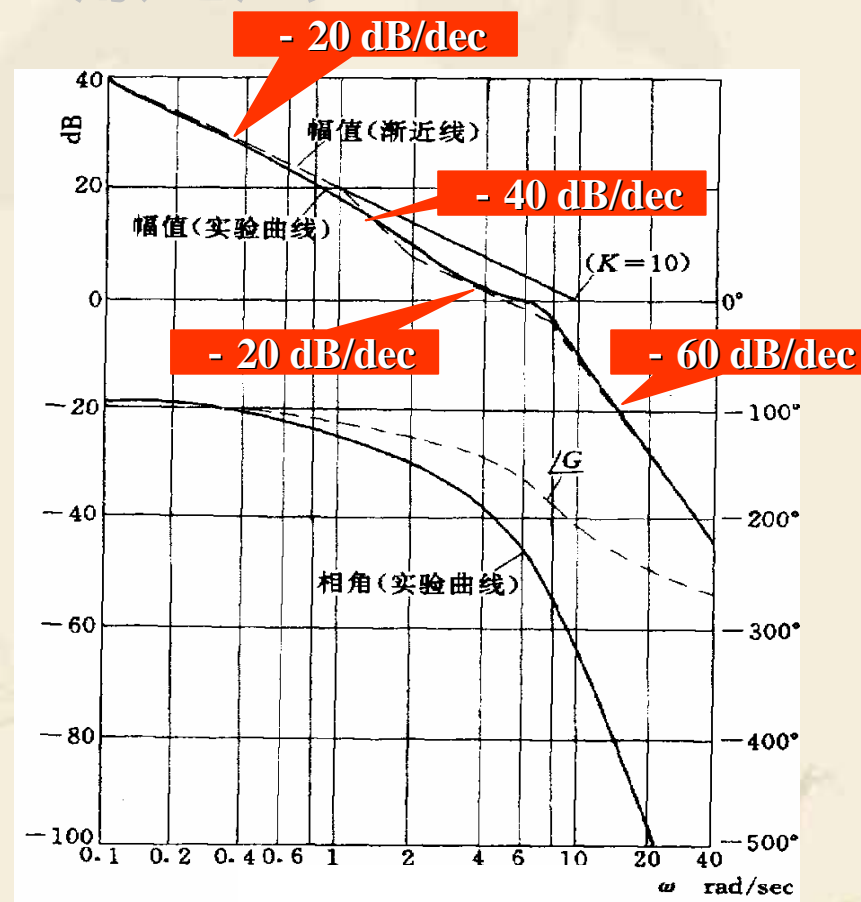
(3) 确定增益K。作低频段的延长线交 0dB线于 $\omega=10$ 处, 确定 $K=10$ 。

(4) 频率特性初步估计为

$$G(j\omega) = \frac{10(1+0.5j\omega)}{j\omega(1+j\omega)\left[1+j\frac{\omega}{8}+\left(j\frac{\omega}{8}\right)^2\right]}$$

$$G(s) = \frac{320(s+2)}{s(s+1)(s^2+8s+64)}$$

(5) 上式的相频曲线 $\angle G$ 与相频实验曲线(实线)有差异, 分析表明存在延时环节, 且 $\tau=0.2s$



$$G(s) = \frac{320(s+2)e^{-0.2s}}{s(s+1)(s^2+8s+64)}$$

六、系统传递函数的实验确定法

例2 最小相位系统对数幅频渐近特性如图4-59所示。试确定系统传递函数。

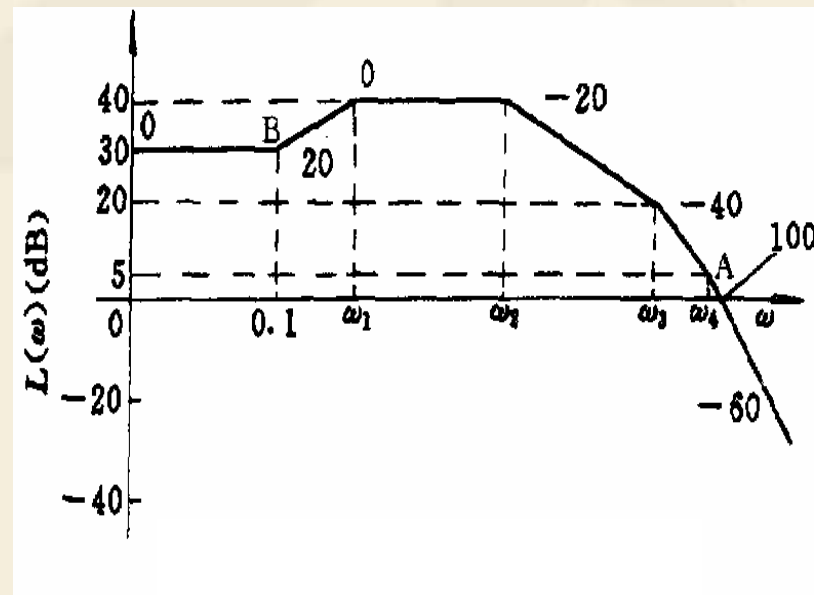
$\omega=0.1$ 处,斜率变化+20dB/dec,为一阶微分环节;

ω_1 处,斜率变化-20dB/dec,为惯性环节;

ω_2 处,斜率变化-20dB/dec,为惯性环节;

ω_3 处,斜率变化-20dB/dec,为惯性环节;

ω_4 处,斜率变化-20dB/dec,为惯性环节。



可知系统开环传递函数为:

$$G(s) = \frac{K \left(\frac{s}{0.1} + 1 \right)}{\left(\frac{s}{\omega_1} + 1 \right) \left(\frac{s}{\omega_2} + 1 \right) \left(\frac{s}{\omega_3} + 1 \right) \left(\frac{s}{\omega_4} + 1 \right)}$$

其中, K 、 ω_1 、 ω_2 、 ω_3 、 ω_4 待定。

六、系统传递函数的实验确定法

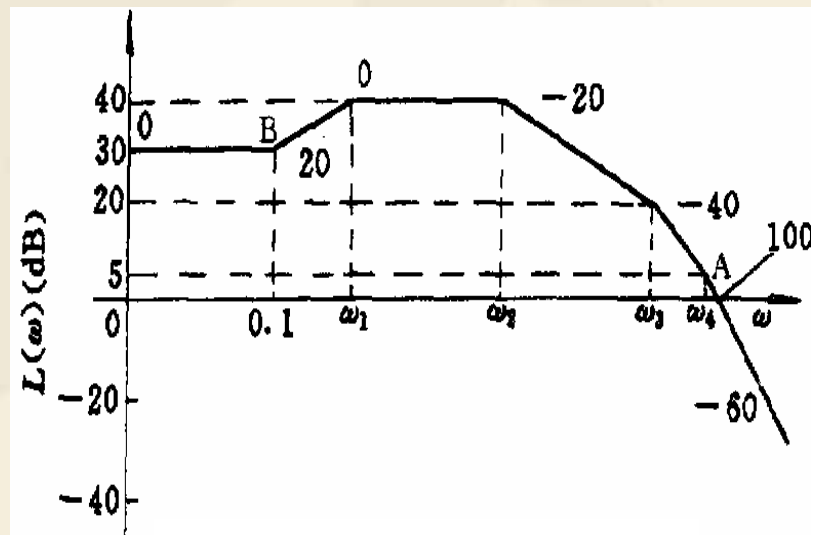
例2

由 $20\lg K=30\text{dB}$, 可确定 $K=31.6$

设A、B为斜率为K的对数幅频特性直线段上两点, A点的对数幅值为 $L(\omega_A)$, B点则为 $L(\omega_B)$, 则有直线方程

$$L(\omega_A) - L(\omega_B) = K[\lg \omega_A - \lg \omega_B], \text{ 则}$$

从低频段开始, 令 $\omega_A = \omega_1$, 从图中可知 $\omega_B=0.1$ 、 $L(\omega_A)=40\text{dB}$ 、 $L(0.1)=30\text{dB}$ 、 $K=20\text{dB/dec}$, 则有



$$\omega_A = \omega_B 10^{\frac{L(\omega_A) - L(\omega_B)}{K}}$$

$$\omega_1 = 0.1 \times 10^{\frac{40-30}{20}} = 0.316$$

同理, 可分别求出 ω_4 、 ω_3 、 ω_2 , 可写出系统开环传递函数为:

$$G(s) = \frac{31.62 \left(\frac{s}{0.1} + 1 \right)}{\left(\frac{s}{0.316} + 1 \right) \left(\frac{s}{3.481} + 1 \right) \left(\frac{s}{34.81} + 1 \right) \left(\frac{s}{82.54} + 1 \right)}$$